







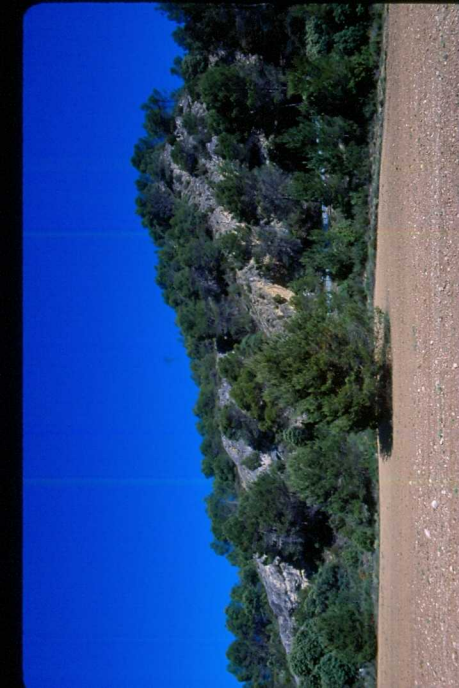


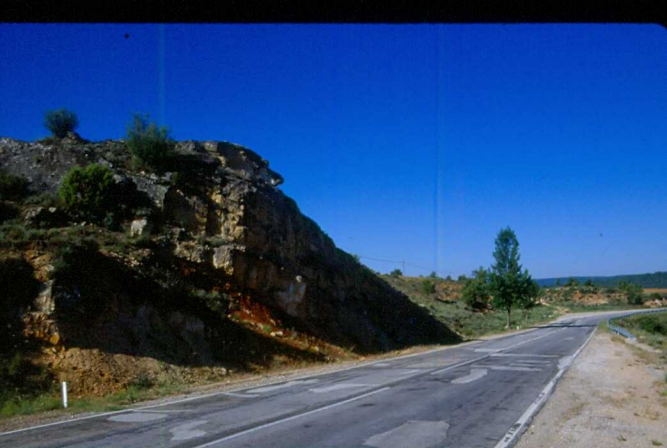
511
575









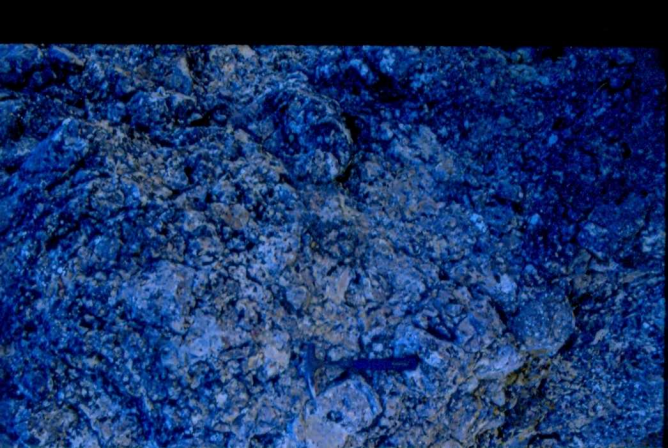






















































MAPA GEOLOGICO DE ESPAÑA

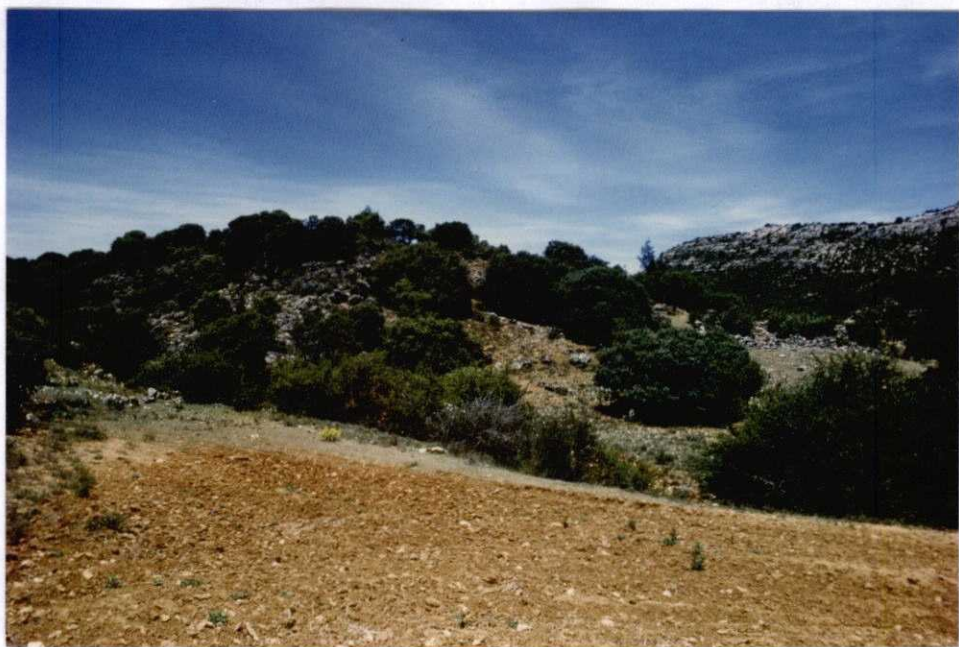
ESCALA 1:50.000

ALBUM FOTOGRAFICO DE LA HOJA

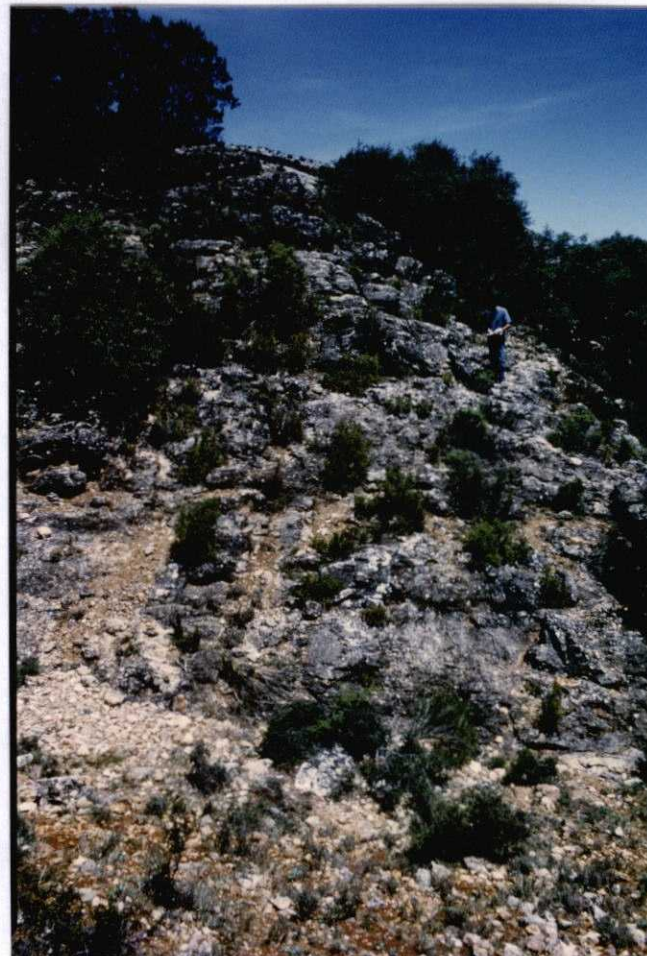
634 (23-25)

SAN LORENZO DE LA PARRILLA

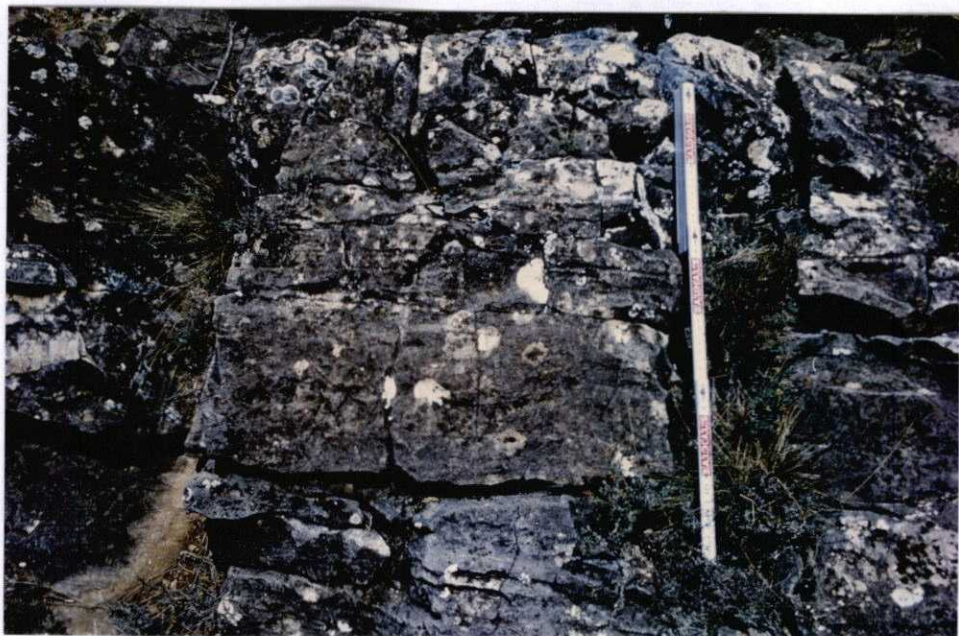
**INTECSA
Julio, 1990**



23-25 - IT-FP- 9001F Afloramiento de materiales pertenecientes al Jurásico (1). Núcleo del anticlinal de Tórtola - Valdeganga. Relieves del Cretácico superior en segundo plano.



23-25 - IT-FP- 9003F- Materiales carbonatados de edad jurásica con aspecto masivo y carniolar



23-25-IT-FP-9004F. Detalle de la anterior. Dolomías con algunas laminaciones debido a algas.

Se observa una secuencia de somerización con estratificación en surco, en la base y laminación a techo.



23-25-IT-FP-9005F- Detalle de la fotografía anterior con laminación cruzada



23 - 25 - IT - FP - 9006F. Afloramiento de los materiales pertenecientes a la Fm. Arenas de Utrillas (2), formado por arenas blancas, margas y areniscas.



23 - 25 - IT - FP - 9007F. Detalle de los materiales de la Fm. Arenas de Utrillas. Arenas blancas y sobre ellas areniscas de color ocre y cantos de cuarcita.



23 - 25 - IT - FP - 9008F. Panorámica del Cretácico superior. En primer término materiales de la Fm. Arenas de Utrillas. Núcleo del anticlinal de Tórtola-Valdeganga.



23 - 25 - IT - FP - 9009F. Detalle de las arenas con aspecto grumoso y color ocre de la Fm. Arenas de Utrillas



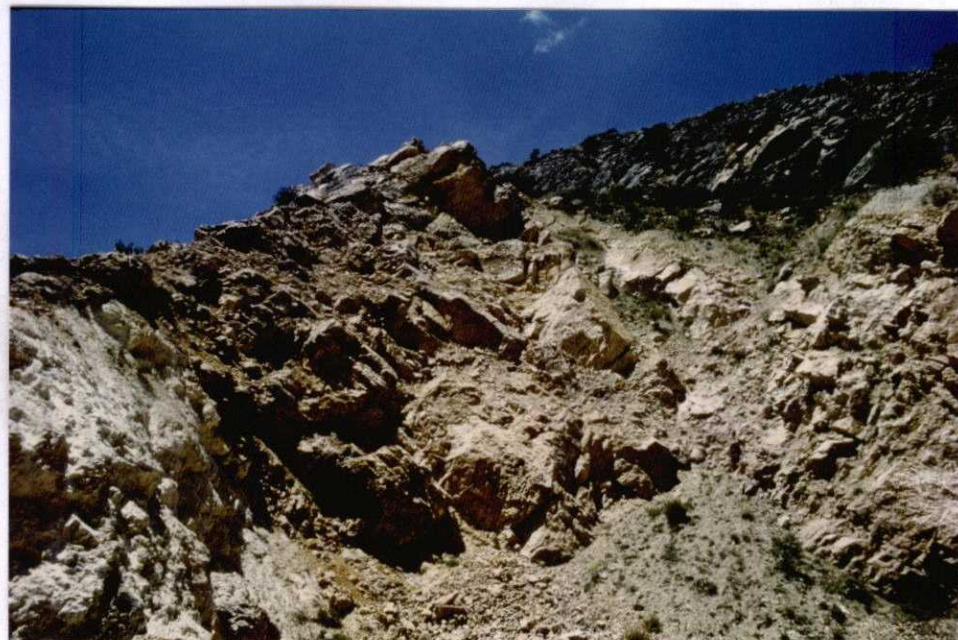
23-25- IT-FP-9010F.- Afloramiento de la Fm. Margas de Chera y muro de la Fm. Dolomías de Alatoz (3), a lo largo del corte estratigráfico de Hocino.



23-25- IT-FP-9011F. Tramo central de la Fm. Dolomía de Alatoz (3)



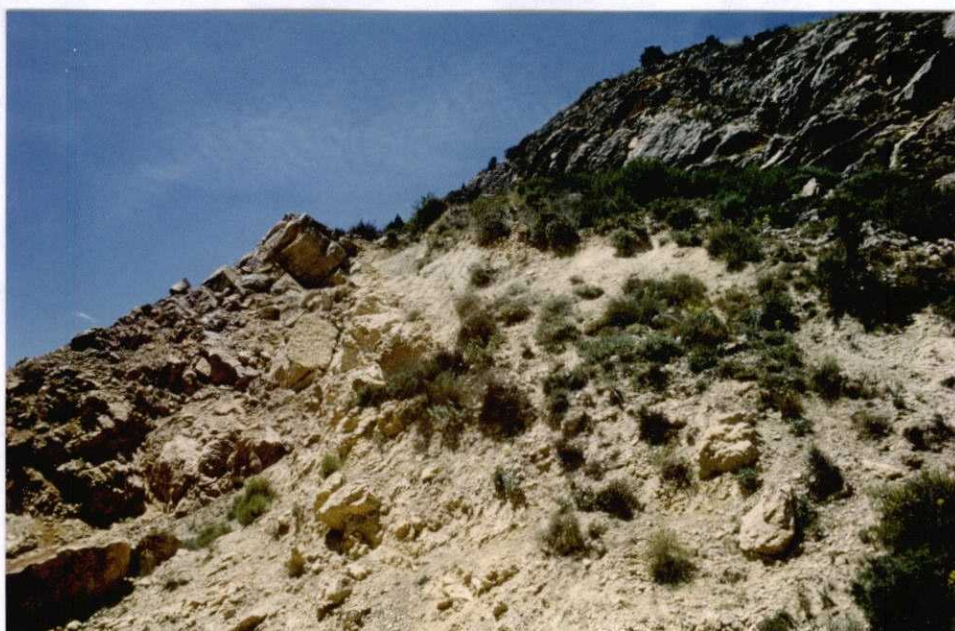
23-25 - IT-FP- 9042 F.- Techo de la Fm. Dolomías de Alatoz y sobre ella la Fm. Dolomías tableadas de Villa de Vés (3).



23-25 - IT-FP- 9043 F.- Afloramiento de la Fm. Dolomías tableadas de Villa de Vés (3). Cretácico superior



23-25 - IT-FP- 9014 F.- Afloramiento de la Fm. Margas de Casa Media (3), entre las Fm. Dolomías
tableadas de Villa de Vés (3) y la Fm. Dolomías de la Ciudad Encantada (4).



23-25 - IT-FP- 9015 F .- Techo de la Fm. Dolomías tableadas de Villa de Vés (con aspecto noduloso)
y sobre ella, la Fm. Margas de Casa Medina (3).



23 - 25 - IT-FP- 9016 F. Aspecto del techo de la Fm. Margas de Casa Media (3) y muro de la Fm. Dolomías de la Ciudad Encantada (4).



23 -15 - IT-FP- 9017 F .- Aspecto de la estratificación en bancos de la Fm. Dolomías de la Ciudad Encantada (4). Frente de explotación abandonado.



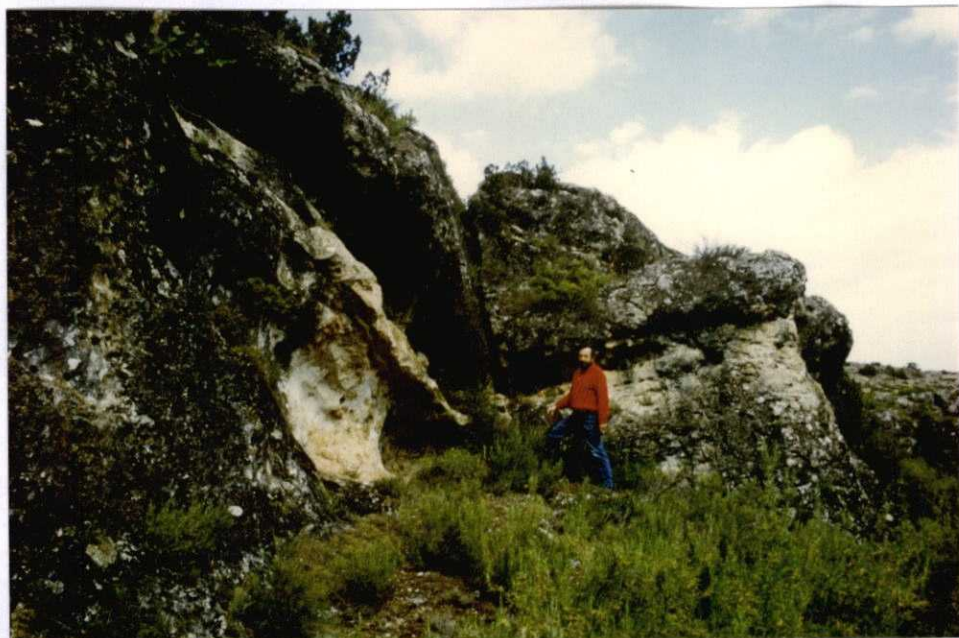
23-25 - IT-FP-9018 F.- Afloramiento del techo de la Fm. Dolomías de la Ciudad Encantada (5).
Dolomías tableadas con superficies onduladas.



23-25 - IT-FP-9019 F 1.- Techo de la Fm. Dolomías de la Ciudad Encantada y Fm. Margas de Alarcón (5) muy cubierta.



23-25-IT-FP-9020 F.- Afloramiento de la Fm. Dolomías de la Ciudad Encantada (4) en el paraje de Los Jaraíces, extremo SE de la hoja.



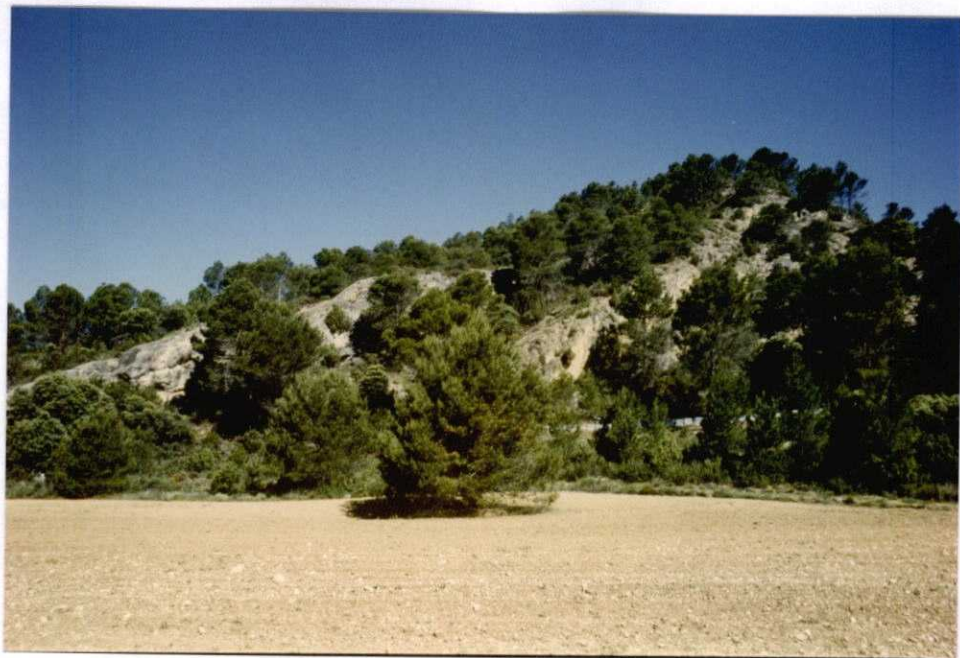
23-25-IT-FP-9021 F .- Aspecto de la Fm. Dolomías de la Ciudad Encantada (4) en la terminación periclinal del anticlinal de Tórtola - Valdeganga.



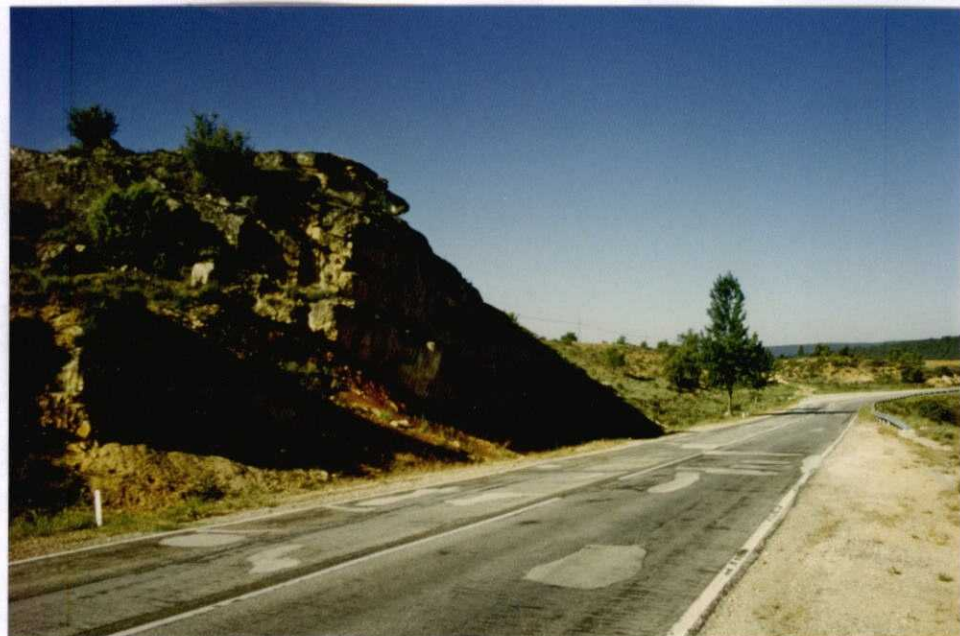
23-25. IT-FP- 9022 F .- Panorámica de la Fm. Margas, arcillas y yesos de Villalba de la Sierra (7) en el P.K. 22,5 de la C. Comarcal de Villarejo - Periesteban a Cuenca



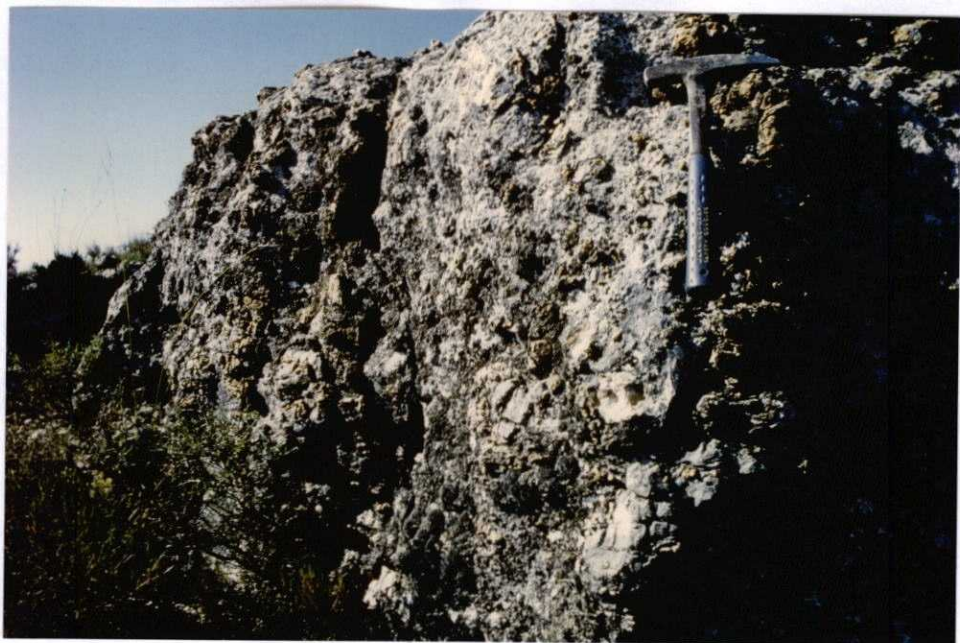
23-25 -IT-FP- 9023 F .- Detalle de la fotografía anterior. Arcillas versicolores y yesíferas de la Fm. Margas, arcillas y yesos de Villalba de la Sierra (7).



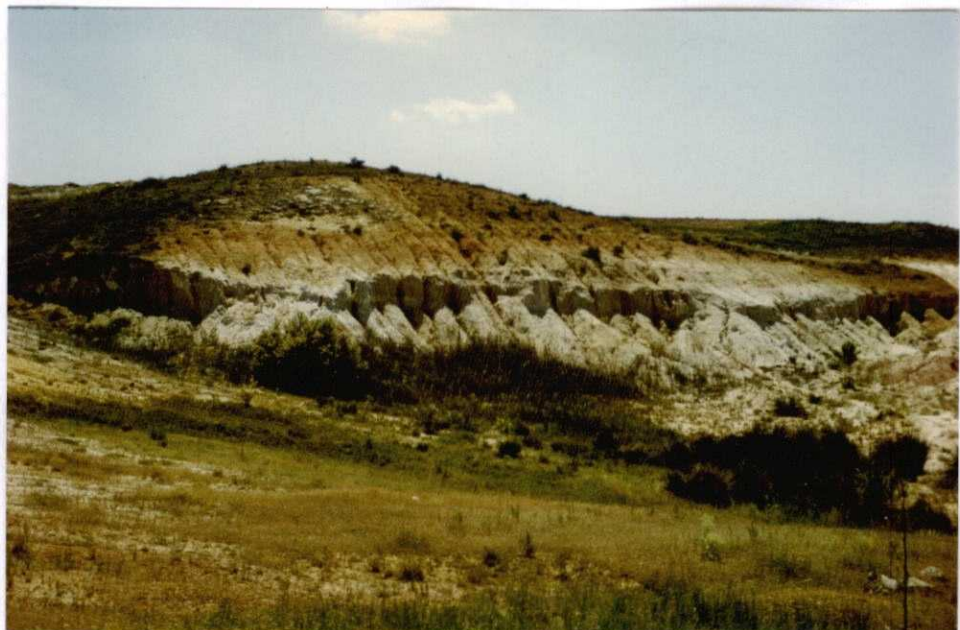
23-25-IT-FP-9024 F .- Flanco N del sinclinal de Valdeganda que afecta a la Unidad Paleógeno inferior (8), en el arroyo de Fuente Grande. Extremo E de la hoja. Canal de arenas y conglomerados.



23-25-IT-FP-9025 F .- Afloramiento de un canal conglomerátilco de la Unidad Paleógeno inferior (8) en las proximidades del P.K. 14,5 de la CN-420



23-25-IT-FP- 9026 F. Detalle de los paleosuelos calcimorfos con nódulos de sílex y cantos de cuarzo de la unidad "Calizas con nódulos de sílex y cantos de cuarzo" (9), en el río de la Vega del Enebro.



23-25-IT-FP-9027 F - Afloramiento de la unidad "Arenas con cantos cuarcíticos, rosas y blancas, arcillas rojizas" (8), con la "Unidad Paleógeno - Neógeno" en las proximidades de la Fuente de la Arena (Canal de Belmontejo).



23-25-IT-FP- 9028 F.- Detalle de la fotografía anterior. Arenas silíceas con estratificación cruzada en surco de la Unidad Paleógeno inferior (8).



23-25 - IT-FP- 9029 F - Panorámica del afloramiento de "Conglomerados poligénicos, areniscas, arenas y arcillas" (10), sobre la Fm. Calizas y brechas calcáreas de la Sierra de Utiel (6) en "El Madroñal", extremo E de la hoja.



23-25 - IT-FP- 9030 F .- Detalle de la fotografía anterior. Conglomerados poligénicos subredondeados a subangulosos en el ápice del abanico de Tórtola.



23-25 - IT-FP- 9031 F .- Fotografía panorámica de las "Areniscas, margas, arcillas y conglomerados subordinados" (11) en las proximidades de Huerta de la Obispalía.



23-25-IT-FP- 9032 F.- Vista de un "canal conglomerático y/o areniscoso"(12), en las proximidades de Fresneda de Altarejos.



23-25-IT-FP- 9033 F.- Detalle de la fotografía anterior. Estratificación cruzada en surco, con base del canal conglomerática (lag de cantos) y naturaleza poligénica.



23-25 - JT-FP- 9034 F- Detalle de un nivel de yesos en "Arcillas yesíferas, margas y calizas" (13).
Son yesos sacaroideos con recristalización de profiroblastos de yesos secundarios.



23-25 - JT-FP- 9035 F - Detalle de una diaclasa en un nivel de "Canales conglomeráticos y/o areniscosos" (12), con posible actividad hidrotermal.



23-25-IT-FP-9036 F Vista panorámica de la antiforma de Albadalejo del Cuende, afectando por falla en materiales de la unidad "Areniscas, margas, arcillas y conglomerados subordinados" (11). CN-420, P.K. 32,8.



23-25-IT-FP-9037 F · Detalle de la fotografía anterior. Diaclasado con estrías afectando a un nivel conglomerático. Lado sur de la carretera.



23-25-IT-FP-9038 F .- Detalle de la F-3036. Fallas inversas. Lado norte de la carretera.



23-25-IT-FP-9039 F .- Detalle de la F-3036. Vista del intenso diaclasado que afecta a los materiales detríticos de la unidad cartográfica (11).



23-25-IT-FP- 9040 F .- Detalle de la F-3036. Estructura sinclinal afectando a la unidad "Areniscas, margas, arcillas y conglomerados subordinados" (11). Lado norte de la carretera.



23-25-IT-FP- 9041 F .- Vista de un afloramiento de "calizas tableadas blancas y grises, arcillas y margas" (14), con bancos carbonatados cuyas potencias oscilan entre 0,20 m y 1,30 m. Se localiza en "Cueva", próximo al río Júcar, extremo SSE de la hoja.



23-25-IT-FP- 9042 F .- Vista panorámica de la discordancia existente entre la Unidad Paleógeno - Neógeno y la Unidad Neógeno, en las proximidades de la Peña del Fraile (921).



23-25-IT-FP- 9043 F .- Vista panorámica de la unidad "Conglomerado poligénico, arenas, arenas y arcillas" (15) en la margen derecha del rio Júcar, desde la C.N.-420, P.K. 24.



23-25 - IT-FP- 9044 F .- Detalle de la F-3043. Conglomerado de naturaleza mixta, con centí 10-15 cm y cemento carbonatado.



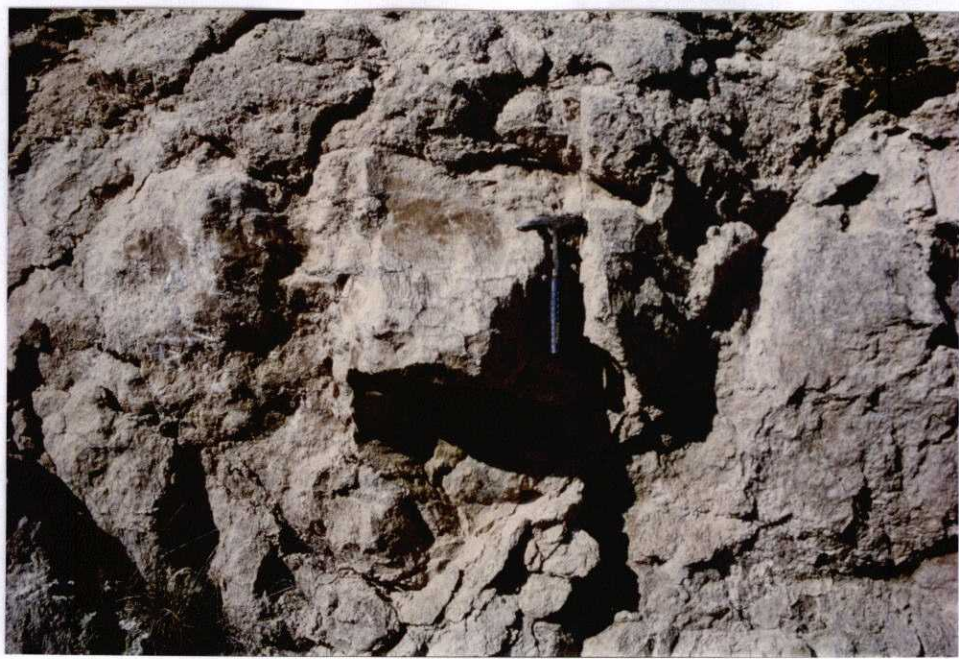
23-25 - IT-FP- 9045 F .- Vista panorámica de la unidad "Areniscas, arenas, arcillas y margas " (16) con asomo de materiales de la unidad "Arenas con cantos cuarcíticos, rosas y blancas y arcillas rojizas" (8) con fuerte buzamiento, en el ángulo SE de la hoja.



23-25-IT-FP-9046 F .- Vista panorámica del afloramiento de "Arcillas yesíferas rojas, margas y calizas" (18) al SE de Villarejo - Periesteban.



23-25-IT-FP-9047 F .- Detalle de la F-3046. Detalle de las intercalaciones de carbonatos laminados, con microfósiles y porosidad fenestral.



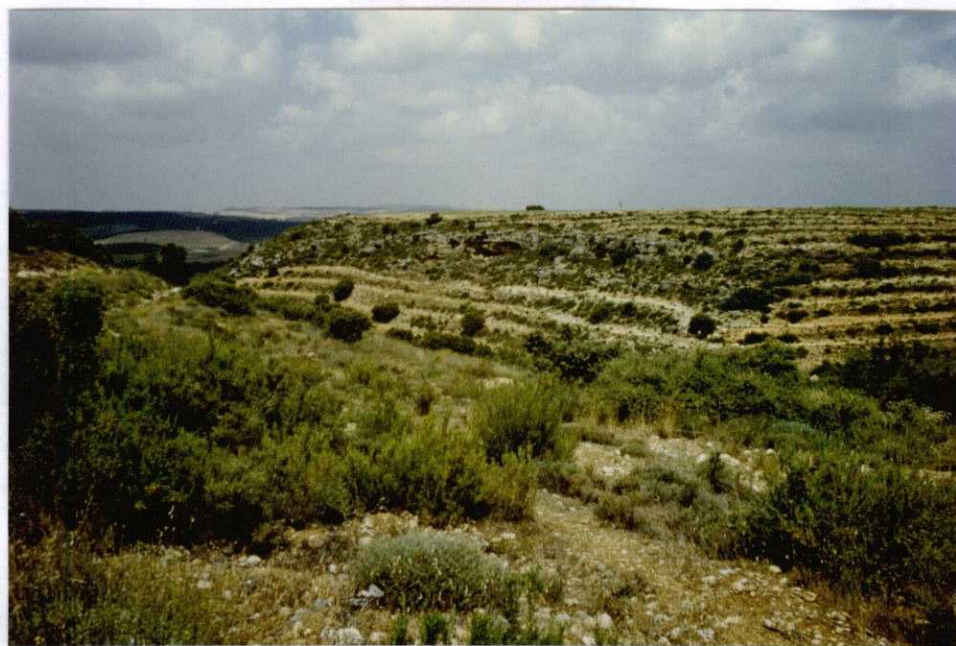
23-25-IT-FP- 9048 F .- Detalle de la fotografía F-3046. Son yesos laminados y alentejonados entre las arcillas yesíferas (18).



23-25-IT-FP- 9049 F - Vista panorámica de la morfología de las unidades "Arcillas yesíferas rojas, margas y calizas" (18) y "Calizas tableadas, arcillas y margas" (19), en el extremo NO de la hoja.



23-25-IT-FP- 9050 F .- Vista panorámica de la discordancia entre la Unidad Paleógeno - Neógeno y la Unidad Neógeno en la C.C. Cuenca - Villarejo - Periesteban. P.K. 20,5.



23-25-IT-FP- 9051 F .- Vista panorámica de la unidad "Canales conglomeráticos y/o areniscosos" (17) en Cueva (933), al SSE de la hoja.